

印刷 (Print)

- SciFinder では、検索して得られた回答についてさまざまな形式で印刷することができます。

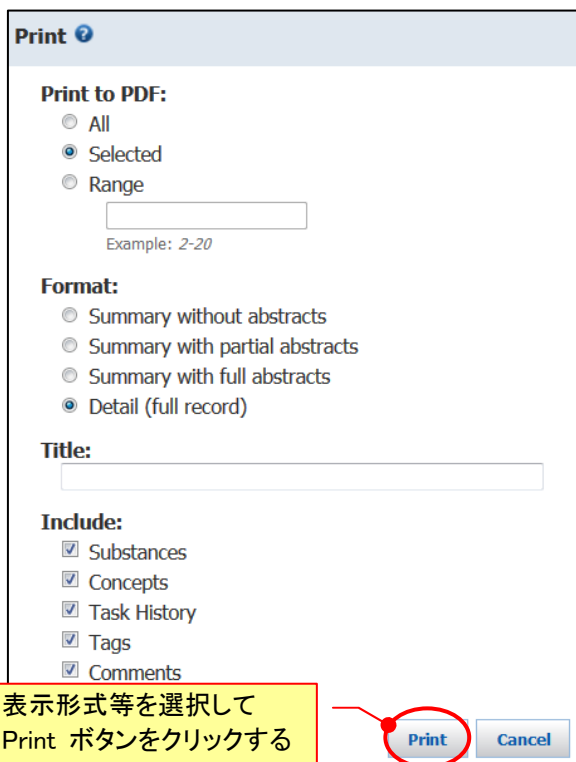
注) ポップアップブロックは解除するか、<https://scifinder.cas.org> のサイトのポップアップを許可してください。

■ 文献情報の印刷



② Print をクリックする

① 特定の回答を印刷する場合はチェックを入れる

③ 表示形式等を選択して Print ボタンをクリックする

- ← すべての回答を印刷する
- ← 選択した回答のみ印刷する
- ← 指定した回答番号範囲を印刷する

- ← サマリーのみ
- ← サマリーと抄録の一部
- ← サマリーと抄録
- ← SciFinder に収録されている詳細な情報(書誌情報、抄録、索引等)

← タイトルの付与 (任意)

含める項目 (任意)

- ← 化学物質索引(CAS RN®)※
- ← 用語索引(キーワード)※
- ← 検索履歴
- ← ユーザーが付与したタグ
- ← ユーザーが付与したコメント
- ※ Format で Detail を選択した場合のみ表示

ポイント Task History(検索経過)にチェックを入れて印刷すると、回答を得た際の検索式も含めて印刷できます。

印刷 (Print)

SciFinder® Page 2

1051. Differential Receptor Binding Affinities of Influenza Hemagglutinins on Glycan Arrays
 By Liao, Hsin-Yu; Hsu, Che-Hsiung; Wang, Shih-Chi; Liang, Chi-Hui; Yen, Hsin-Yung; Su, Ching-Yao; Chen, Chien-Hung; Jan, Jia-Tsong; Ren, Chien-Tai; Chen, Chung-Hsuan; et al
 From Journal of the American Chemical Society (2010), 132(42), 14849-14856. Language: English, Database: CAPLUS, DOI:10.1021/ja104657b

A library of 27 sialosides, including seventeen 2,3-linked and ten 2,6-linked glycans, has been prepared to construct a glycan array and used to profile the binding specificity of different influenza hemagglutinins (HA) subtypes, esp. from the 2009 swine-originated H1N1 and seasonal influenza viruses. It was found that the HAs from the 2009 H1N1 and the seasonal Brisbane strain share similar binding profiles yet different binding affinities toward various α2,6 sialosides. Anal. of the binding profiles of different HA subtypes indicate that a min. set of 5 oligosaccharides can be used to differentiate influenza H1, H3, H5, H7, and H9 subtypes. In addition, the glycan array was used to profile the binding pattern of different influenza viruses. It was found that most binding patterns of viruses and HA proteins are similar and that glycosylation at Asn27 is essential for receptor binding.

~28 Citings
 0 Tags
 0 Comments
 Copyright © 2014 American Chemical Society (ACS). All Rights Reserved.

1052. Molecular dynamics simulations suggest that electrostatic tunnel directs binding of oseltamivir to neuraminidases
 By Le, Ly; Lee, Eric H.; Hardy, David J.; Truong, Thanh N.; Schulten, Klaus
 From PLoS Computational Biology (2010), 6(9), No pp. given. Language: English, Database: CAPLUS, DOI:10.1371/journal.pcbi.1000939

Osetamivir (Tamiflu) is currently the frontline antiviral drug employed to fight the flu virus in infected individuals by inhibiting neuraminidase, a flu protein responsible for the release of newly synthesized virions. However, oseltamivir resistance has become a crit. problem due to rapid mutation of the flu virus. Unfortunately, how mutations actually confer drug resistance is not well understood. In this study, we employ mol. dynamics (MD) and steered mol. dynamics (SMD) simulations, as well as graphics processing unit (GPU) mapping, to uncover the mechanism behind point mutation induced oseltamivir resistance. We use a 11pdm swine flu N1-subtype neuraminidase. The simulations reveal an electrostatic binding tunnel that plays a key role in directing oseltamivir into and out of its binding site on N1 neuraminidase. The binding pathway for oseltamivir suggests how mutations disrupt

④ PDF のプレビュー画面が別ウィンドウに立ち上がる。
印刷ボタンをクリックする

Q1> 文献検索の結果を印刷するときの Summary (サマリー) とは？

A1> 下の図の赤線で囲った部分です。

1051. Differential Receptor Binding Affinities of Influenza Hemagglutinins on Glycan Arrays
 By Liao, Hsin-Yu; Hsu, Che-Hsiung; Wang, Shih-Chi; Liang, Chi-Hui; Yen, Hsin-Yung; Su, Ching-Yao; Chen, Chien-Hung; Jan, Jia-Tsong; Ren, Chien-Tai; Chen, Chung-Hsuan; et al
 From Journal of the American Chemical Society (2010), 132(42), 14849-14856. Language: English, Database: CAPLUS

- 雑誌論文の場合

タイトル, 著者名, 雑誌名, 巻, 号, ページ, 言語, データベース名が印刷されます。

ポイント この情報さえあれば雑誌を入手することができます。

- 特許の場合

ベーシック特許*に関する特許情報 (発明者名, 特許番号, 特許種別, 特許発行日, 言語) とデータベース名が印刷されます。

ポイント 対応特許情報や出願情報, 優先権情報などを印刷する場合は, サマリーではなく Detail (full record) を選択します。

* ベーシック特許とは同一発明中 CAS が最初に入手した特許で, 文献詳細情報の Patent Information 項目中, 一行目に表示されるものです。

Q2> 抄録とは？

A2> 研究内容を簡単にまとめた概要です。小説で言うところのあらすじに当たります。

抄録を読むと, 原報を読む必要があるかどうかを判断できますので, 必要な場合は印刷します。

印刷 (Print)

■ 化学物質情報の印刷

Print ?

Print to PDF:

All
 Selected
 Range

Example: 2-20

Format:

Summary
 Detail

Title:

Include:

Select All

- Chemical Names
- GenBank[®] Definition & Feature Table
- Experimental Properties
- Experimental Spectra
- Predicted Properties
- Predicted Spectra
- Regulatory Information
- Bioactivity Indicators
- Target Indicators
- CAS Reference Roles
- Task History

← サマリーのみ

← SciFinder に収録されている物質に関する詳細な情報
(物質同定情報, 物性情報 (スペクトルを除く) などを含む)

含める項目 (任意)

- ← 化学物質名称*
- ← 配列情報*
- ← 実測物性値*
- ← 実測スペクトル*
- ← 予想物性値*
- ← 予想スペクトル*
- ← 既存化学物質リスト情報*
- ← Bioactivity Indicator*
- ← Target Indicator*
- ← 文献種別一覧*
- ← 検索経過

※ Format で Detail を選択した場合のみ表示

Q3> 化学物質検索の結果を印刷するときの Summary (サマリー) とは？

A3> 下の図の赤線で囲った部分です。

Sort by: Relevance

1 of 4904 Substances Selected

Display Options

Page: 1 of 99

1. 934-23-6

2. 936-22-1

3. 13479-81-7

Cc1ncnc2[nH]cnc12

Cc1ncnc2[nH]cnc12D

Cc1ncnc2[nH]cnc12

$C_4H_4N_4$
9#Purine, 2-methyl-

Key Physical Properties

Molecular Weight
134.14

Density (Predicted)
Value: 1.371±0.06 g/cm³ | Condition: Temp: 20 °C
Press: 760 Torr

pKa (Predicted)
Value: 9.40±0.10 | Condition: Most Acidic Temp: 25 °C

Spectra

$C_4H_5D N_4$
Purine-6-d, 2-methyl- (7CI,8CI)

Key Physical Properties

Experimental Properties

$C_4H_5D N_4$
1#Purine-6-d, 2-methyl- (9CI)

CAS RN[®], 構造, 分子式, 化学物質名称 (CA 命名法に基づく), 文献数, 主な物性値*, 各種関連情報 (反応, 試薬カタログ, 規制情報, スペクトル情報, 実測物性値) の存在
*主な物性値を含めるかどうかは選択可能

ポイント 構造と CAS RN[®] のみの情報で十分な場合, コンパクトに印刷できるため便利です。

■ 化学反応情報の印刷

Print ?

Print to PDF:

All

Selected

Range

Example: 2-20

Format:

Summary

Detail

Title:

Include:

Experimental Procedure (if available)

MethodsNow™ Protocol (if available)

Overview

Task History

← サマリーのみ

← SciFinder に収録されている反応に関する詳細な情報
(書誌情報および、多段階反応の場合の各反応情報など)

含める項目 (任意)

← SciFinder に収録された実験項情報

← MethodsNow (反応手順) 情報 【オプション契約】

← 概要(反応条件や出典)*

← 検索経過

※ Format で Detail を選択すると概要は必ず印刷されるため非表示

Q4> 化学反応検索の結果を印刷するとき, Detail を選択すると Summary (サマリー) とどこが違うのか?

A4> 多段階反応の各段階の反応スキームが分割表示されるため, 中間体の構造も確認できます.

また, 各段階の収率も確認できます.

Detail

6. 2 Steps

$$\text{Cl}-\overset{\text{O}}{\parallel}{\text{C}}-\text{CH}=\text{CH}_2 + \text{H}_2\text{N}-(\text{CH}_2)_3-\text{CO}_2\text{H} \xrightarrow{1} \text{HO}_2\text{C}-(\text{CH}_2)_3-\overset{\text{O}}{\parallel}{\text{C}}-\text{CH}=\text{CH}_2$$

Step	Stages	Notes	Yield
1	1.1 R:NaOH, S:H ₂ O, S:Me ₂ CO, 30 min, 0°C; 1 h, rt 1.2 R:HCl, S:H ₂ O, pH 1	Reactants: 2, Reagents: 2, Solvents: 2, Steps: 1, Stages: 2	40%
2	→ $\text{HO}_2\text{C}-(\text{CH}_2)_3-\overset{\text{O}}{\parallel}{\text{C}}-\text{CH}=\text{CH}_2$		
Step	Stages	Notes	Yield
2	2.1 C:201611-92-9, C:2638-94-0, S:EtOH, S:H ₂ O, 3 h, 70°C 2.2 R:O ₂ , cooled	sealed flask used, controlled free radical polymerization, kinetics studied, polymers with different molecular weights prepared similarly, Reactants: 1, Reagents: 1, Catalysts: 2, Solvents: 2, Steps: 1, Stages: 2	75%

Source
Well-defined polymeric vesicles with high stability and modulation of cell uptake by a simple coating protocol
Yasayan, Gokcen, Redheffer, Martin, Magnusson, Johannes P. Spain, Sebastian G. Allen, Stephanie, Davies, Martyn, Alexander, Cameron, Fernandez, Trillo, Francisco
Polymer Chemistry
Volume 3
Issue 9
Pages 2596-2604
Journal, Online Computer File
2012.

Summary

6. 2 Steps

$$\text{Cl}-\overset{\text{O}}{\parallel}{\text{C}}-\text{CH}=\text{CH}_2 + \text{H}_2\text{N}-(\text{CH}_2)_3-\text{CO}_2\text{H} \rightarrow \text{HO}_2\text{C}-(\text{CH}_2)_3-\overset{\text{O}}{\parallel}{\text{C}}-\text{CH}=\text{CH}_2$$

Overview

<p>Steps/Stages</p> <p>1.1 R:NaOH, S:H₂O, S:Me₂CO, 30 min, 0°C; 1 h, rt</p> <p>1.2 R:HCl, S:H₂O, pH 1</p> <p>2.1 C:201611-92-9, C:2638-94-0, S:EtOH, S:H₂O, 3 h, 70°C</p> <p>2.2 R:O₂, cooled</p>	<p>Notes</p> <p>2) sealed flask used, controlled free radical polymerization, kinetics studied, polymers with different molecular weights prepared similarly, Reactants: 2, Reagents: 3, Catalysts: 2, Solvents: 3, Steps: 2, Stages: 4, Most stages in any one step: 2</p> <p>References</p> <p>Well-defined polymeric vesicles with high stability and modulation of cell uptake by a simple coating protocol By Yasayan, Gokcen et al From Polymer Chemistry, 3(9), 2596-2604; 2012</p>
---	--

ポイント 一段階反応をコンパクトに印刷するには Summary (サマリー) 形式が,

多段階反応の各段階の反応スキームや収率を分かりやすく印刷するには Detail がお勧めです.